Dados \overrightarrow{ABC} un triángulo y \overrightarrow{MNP} un triángulo inscrito en \overrightarrow{ABC} , con M en BC, N en CA y P en AB, construir un tercer triángulo A'B'C' inscrito en \overrightarrow{MNP} , con A' en NP, B' en PM, C' en MN, A'B' paralelo a AB, B'C' paralelo a BC, y C'A' paralelo a CA (\overrightarrow{ABC} y $\overrightarrow{A'B'C'}$ homotéticos).

SOLUCIÓN:

Problema propuesto en el Laboratorio virtual de triángulos con Cabri (TriangulosCabri), con el número 549 http://www.personal.us.es/rbarroso/trianguloscabri/index.htm Con el siguiente enunciado:

Sea ABC un triángulo dado Sea MNP un triángulo inscrito en ABC, con M en BC, N en CA y P en AB.

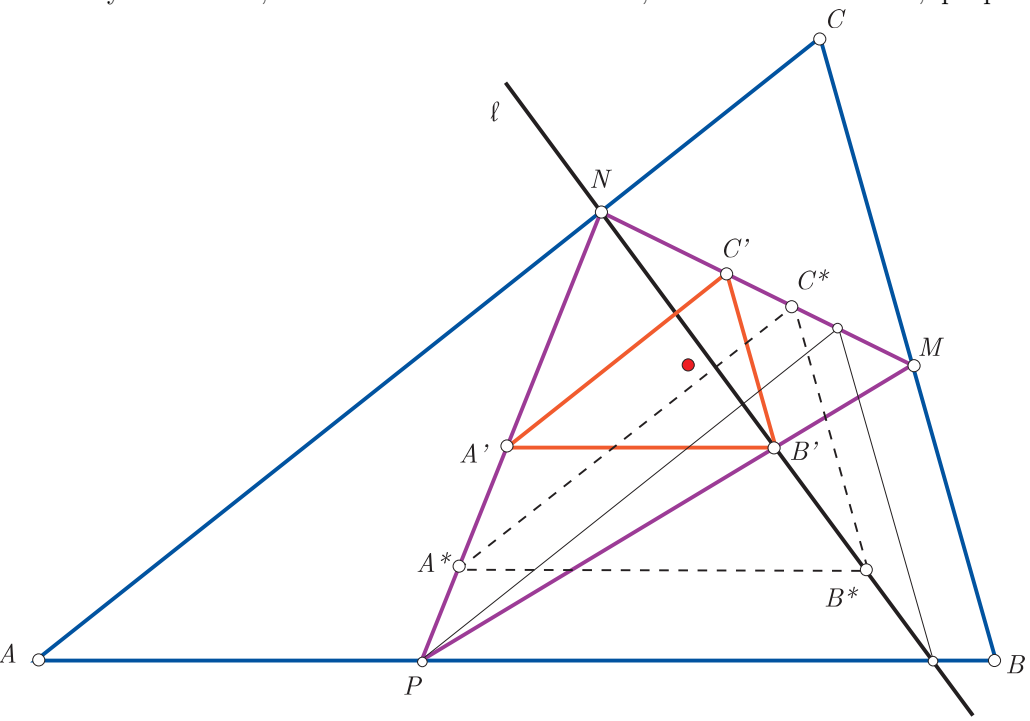
Construir un tercer triángulo A'B'C' inscrito en MNP tal que los lados homólogos sean paralelos, es decir, A' en NP, B' en PM, C' en MN, A'B' paralelo a AB, B'C' paralelo a BC, y C'A' paralelo a CA.

Sortais, Yvonne et René (1993): Géométrie de l'espace et du plan : synthese de cours, exercices résolus (p. 103)

Este problema también se encuentra en:

Campo, S. (2005) Métodos sintéticos de la geometría. Edición de autor. Salamanca.cap. III, 4.4.,pag. 128

Tomemos un triángulo $\widehat{A^*B^*C^*}$ variable con lados A^*B^*, B^*C^*, C^*A^* respectivamente paralelos a AB, BC, CA y tal que A^* está en NP y C^* en MN; cuando A^* varía en el lado NP, B^* recorre una recta ℓ , que pasa por N.



Tomamos como vértice B', del triángulo a construir, el punto de intersección de ℓ con el lado PM; los otros vértices, C' y A', son obtenidos sin más que trazar paralelas por B' a AB y a BC.

NOTAS COMPLEMENTARIAS, relativas al centro de homotecia de \widehat{ABC} y $\widehat{A'B'C'}$

Vamos a obtener las coordenadas baricéntricas (respecto a \widehat{ABC}) del centro de la homotecia que transforma el triángulo \widehat{ABC} en el construido, $\widehat{A'B'C'}$; lo que utilizaremos para estudiar casos particulares dependiendo del triángulo inscrito \widehat{PMN} .

Sean $M(0:m_2:m_3)$, $N(n_1:0:n_3)$ y $P(p_1:p_2:0)$, vamos a determinar otro punto de la recta ℓ (distinto de N). Podemos considerar el caso particular en que A^* coincida con P; la recta paralela por P a AC interseca a MN en el

punto:

$$(-n_1(m_2p_1-m_3p_2):-m_2p_2(n_1+n_3):-m_2n_3p_1-m_3n_1p_2).$$

La paralela por este punto a BC corta a AB en:

$$(n_1(m_2p_1-m_3p_2):m_2n_3p_1+m_2n_1p_2+m_3n_1p_2+m_2n_3p_2:0).$$

La recta ℓ , que pasa por este punto y por N, corta a PM en:

$$B'(n_1p_1(m_2+m_3):m_2n_3p_1+m_2n_1p_2+m_3n_1p_2+m_2n_3p_2:m_3n_3(p_1+p_2)).$$

Procediendo cíclicamente, es decir, considerando triángulos $\widehat{A^*B^*C^*}$ homotéticos a \widehat{ABC} , tomando primero, B^* en PM y C^* en MN y, luego, C^* en MN y A^* en NP, se obtiene:

$$C'(n_1p_1(m_2+m_3):p_2m_2(n_3+n_1):***), \qquad A'(***:p_2m_2(n_3+n_1):m_3n_3(p_1+p_2)).$$

Por lo que el centro de homotecia es el punto:

$$(n_1p_1(m_2+m_3):p_2m_2(n_3+n_1):m_3n_3(p_1+p_2)).$$

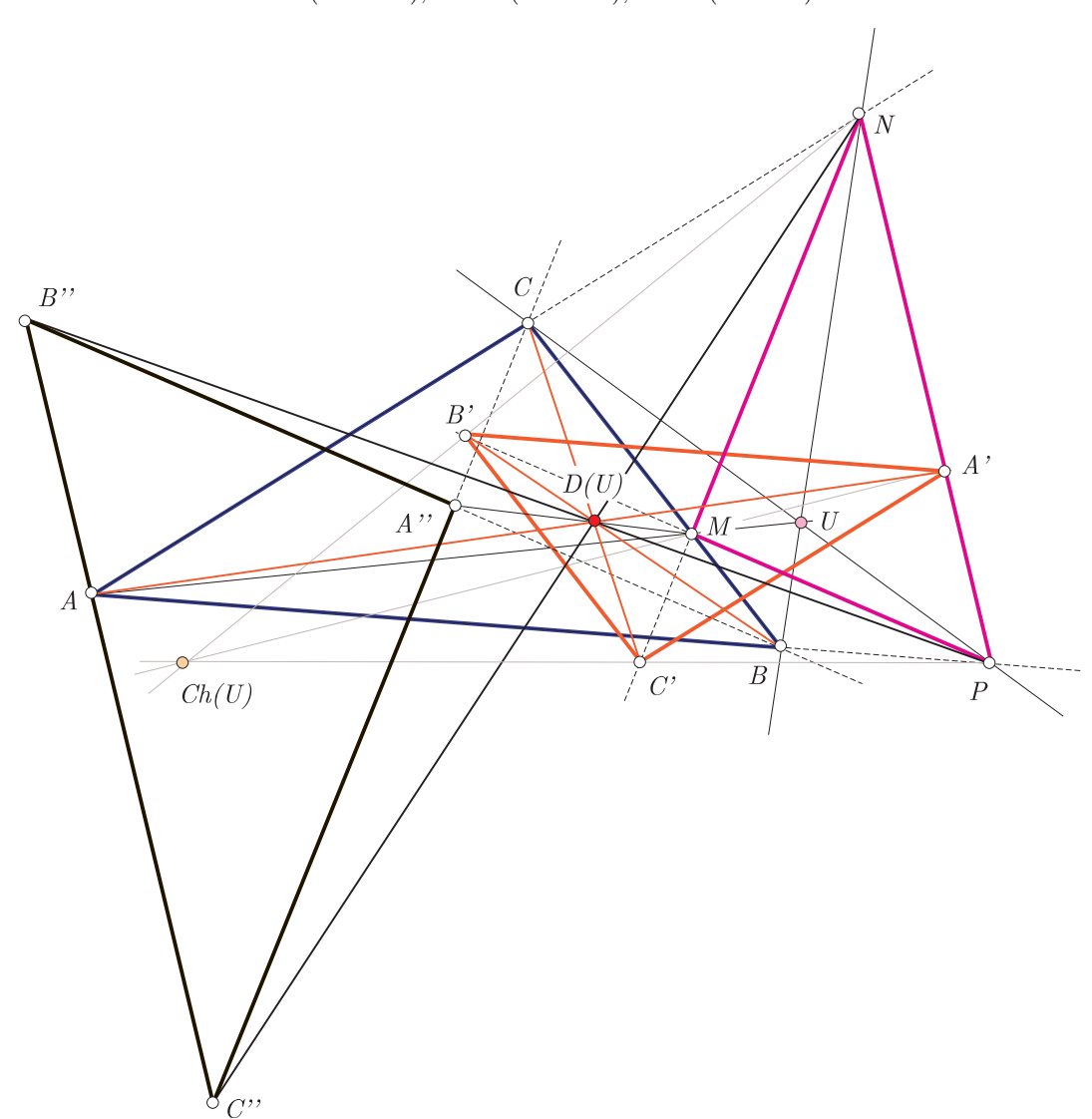
La razón de la homotecia que transforma \widehat{ABC} en $\widehat{A'B'C'}$ es:

$$k = \frac{m_2 n_3 p_1 + m_3 n_1 p_2}{(m_2 + m_3)(n_1 + n_3)(p_1 + p_2)}.$$

Casos particulares

 \bigstar Caso en que \widehat{PMN} es el triángulo ceviano de un punto U(u:v:w):

$$M(0:v:w), \qquad N(u:0:w), \qquad P(u:v:0).$$



El centro de homotecia de \widehat{ABC} y $\widehat{A'B'C'}$ es:

$$D(U) = (u^{2}(v+w) : v^{2}(w+u) : w^{2}(u+v)).$$

Se trata del punto producto baricéntrico del cuadrado baricéntrico de U por su complemento, también conocido como <u>punto Danneels</u> D(U) de U (Hyacinthos. Message #11037 Fri Jan 28, 2005 9:46 pm: "Las rectas paralelas por A, B y C a los lados NP, PM y MN del triángulo ceviano de U forman un triángulo A''B''C'' homotético a PMN con centro de homotecia en D(U)").

Algunos pares U - D(U) y su primera coordenada baricéntrica son:

U			D(U)	
X_1	a	X_{42}	$a^2(b+c)$	
X_2	1	X_2	1	
X_3	a^2S_A	X_{418}	$a^4 S_A^2 (b^2 S_B + c^2 S_C)$	
X_4	S_BS_C			
X_{1113}	(recta de Euler) \cap circunscírculo	X_{25}	$a^2S_BS_C$	
X_{1114}	"			
X_5	$S^2 + S_B S_C$	X_{3078}	$(S^2 + S_B S_C)^2 (2S^2 + a^2 S_A)$	
X_6	a^2	X_{3051}	$a^4(b^2+c^2)$	
X_7	$\frac{1}{b+c-a}$	X_{57}	$\frac{a}{b+c-a}$	
X_8	b+c-a	X_{200}	$a(b+c-a)^2$	
X_9	a(s-a)		$a^2(s-a)\left(\frac{b}{s-c} + \frac{c}{s-b}\right)$	
X_{10}	b+c		$(b+c)^2(2a+b+c)$	
X_{69}	S_A	X_{394}	$a^2S_A^2$	
X_{75}	bc	X_{321}	bc(b+c)	
X_{99}	$\frac{1}{b^2 - c^2}$	X_2	1	
X_{100}	a(a-b)(a-c)	X_{55}	$a^2(b+c-a)$	
X_{110}	$a^2(a-b)(a+b)(a-c)(a+c)$	X_{184}	a^4S_A	
X_{264}	$\frac{1}{a^2S_A}$	X_{324}	$\frac{b^2S_B + c^2S_C}{a^2S_A^2}$	
X_{366}	\sqrt{a}	X_{367}	$a(\sqrt{b} + \sqrt{c})$	
X_{651}	a(a-b)(a-c)(a+b-c)(a-b+c)	X_{222}	$\frac{a^2 S_A}{b+c-a}$	
X_{653}	$\frac{1}{(b-c)(b+c-a)S_A}$	X_{196}	$\frac{\overline{b+c-a}}{(a-c)(a-b+c)S_B - (a-b)(a+b-c)S_C} \\ \underline{(b-c)(b+c-a)S_A}$	
X_{1370}	$c^2S_AS_B + b^2S_AS_C - a^2S_BS_C$	X_{455}	$a^{2}S_{B}S_{C}(c^{2}S_{A}S_{B} + b^{2}S_{A}S_{C} - a^{2}S_{B}S_{C})^{2}$	

Por otra parte, se tiene que el triángulos \widehat{MNP} , ceviano de U, y el triángulo $\widehat{A'B'C'}$, homotético a \widehat{ABC} , son perspectivos con centro de perspectividad:

$$Ch(U) = \left(u^2(v+w)(u(v+w)+2vw): v^2(w+u)(v(w+u)+2wu): w^2(u+v)(w(u+v)+2uv)\right).$$

Algunos de los pares U - Ch(U) son:

$$Ch(X_1) = X_{2667};$$
 $Ch(X_2) = X_2;$ $Ch(X_4) = X_4 \cdot X_{39} = \left(\frac{a^2(b^2 + c^2)}{b^2 + c^2 - a^2} : \dots : \dots\right),$

$$Ch(X_7) = \left(\frac{a(b+c)}{b+c-a} : \cdots : \cdots\right)$$
, conjugado isotómico del X_{314} ; $Ch(X_9) = X_{3059}$.

ALGUNOS LUGARES GEOMÉTRICOS DESCRITOS POR PUNTOS DANNEELS

• Si U está en una recta pasando por el baricentro, su punto Danneels, D(U), está en <u>la misma recta</u>. En efecto, el centro de homotecia correspondiente a un punto de la forma (p + t : q + t : r + t) es:

$$(p+t)^2(q+r+2t): (q+t)^2(p+r+2t): (r+t)^2(p+q+2t)$$
,

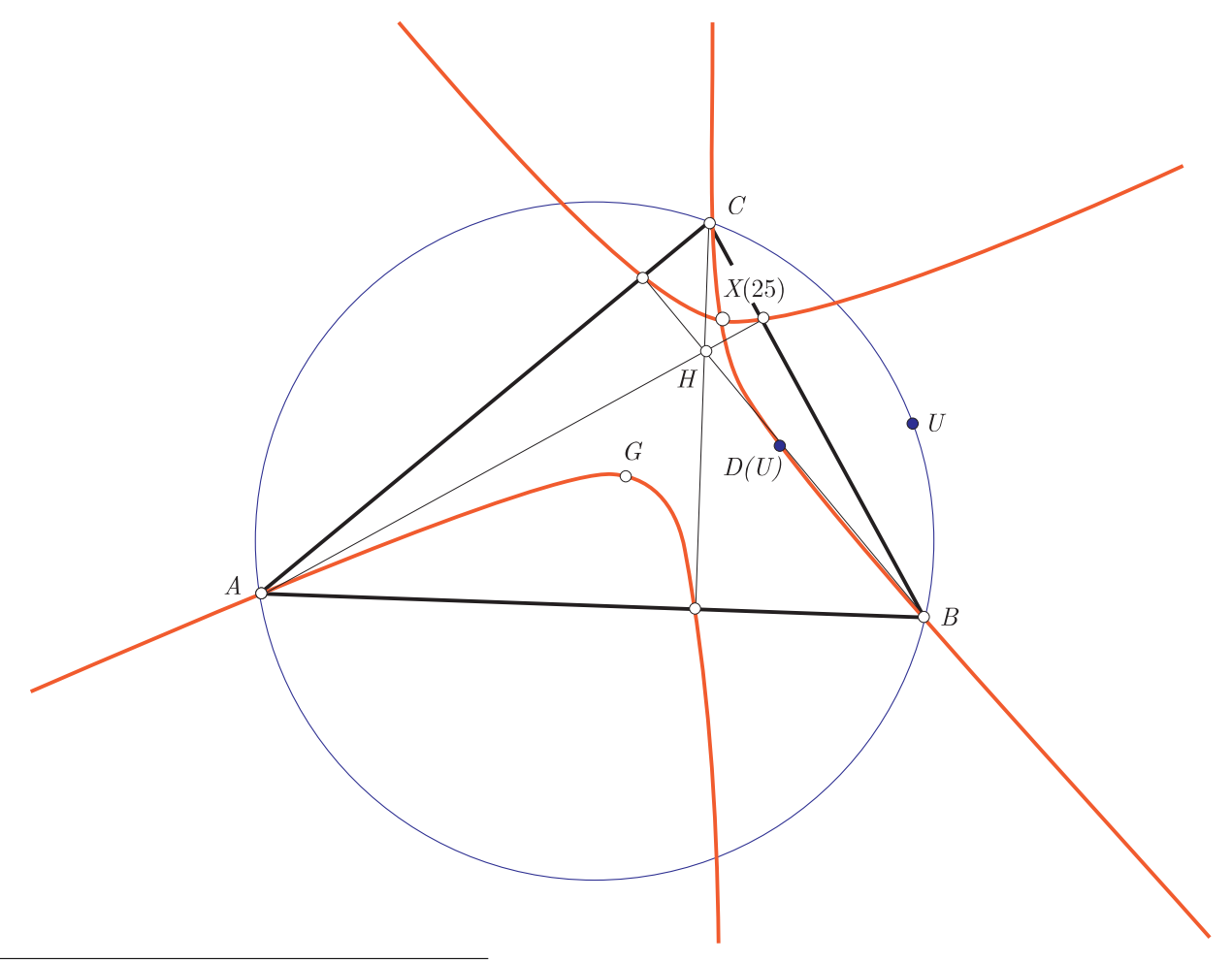
que está en la recta por (1:1:1) y (p:q:r).

- El punto Danneels D(U), cuando U recorre la elipse circunscrita de Steiner, yz + zx + xy = 0, es siempre el baricentro G. En efecto, un punto genérico de tal elipse se puede poner de la forma U(1/t:-1:1/(1-t)) (conjugado isotómico del punto del infinito (t:-1:1-t)), y el correspondiente centro de homotecia es ((1-t)t:(1-t)t:(1-t)t)).
- Cuando U está en la <u>recta del infinito</u>, D(U) describe la <u>cúbica</u> con asíntotas los lados de \widehat{ABC} y con el baricentro como punto doble aislado:

$$x^{3} + y^{3} + z^{3} + 3yx^{2} + 3zx^{2} + 3y^{2}x + 3z^{2}x + 3yz^{2} + 3y^{2}z - 21xyz = 0.$$
 (1)

• Si U está en la <u>circunferencia circunscrita</u>, D(U) está en la <u>cúbica pseudo-pivotal</u> $ps\mathcal{K}(X_{1974}, X_4, X_2)^{(1)}$, X_{1974} —isoconjugada de la **K429** en CTC — Catalogue Triangle Cubic, Bernard Gibert —:

$$\mathfrak{S}_{accelerate}\left(S_{A}x^{2}(c^{4}y-b^{4}z)\right)-(a^{2}-b^{2})(b^{2}-c^{2})(c^{2}-a^{2})xyz=0.$$



⁽¹⁾ Bernard Gibert.- Pseudo-Pivotal Cubics and Poristic Triangles. (http://pagesperso-orange.fr/bernard.gibert/files/psks.html)

Esta ecuación resulta de eliminar t entre las coordenadas de D(U), con $U(a^2(t-1):b^2t(1-t):-c^2t)$ en la circunferencia circunscrita:

$$D(U) = \left(a^4(-c^2 - b^2(t-1))(t-1) : b^4t(t-1)(a^2(t-1) - c^2t) : c^4t(a^2 - b^2t)\right).$$

Dicha cúbica contiene al baricentro X_2 (punto Danneels del X_{99} , de intersección de la circunferencia circunscrita con la elipse circunscrita de Steiner), pasa por los pies de las alturas $^{(2)}$, tiene un punto doble (cúbica unicursal) en $X_{25} = (a^2S_BS_C:b^2S_CS_A:c^2S_AS_B)$ (punto Danneels de los puntos X_{1113} y X_{1114} , de intersección de la recta de Euler con la circunferencia circunscrita) y las tangentes en los vértices,

$$c^4y - b^4z = 0$$
, $a^4z - c^4x = 0$, $b^4x - a^4z = 0$,

concurren en el punto X_{32} , $(a^4:b^4:c^4)$.

Además la conjugada isogonal de $ps\mathcal{K}(X_{1974}, X_4, X_2)$ es la cúbica **K257**, es decir, la pseudo-pivotal $ps\mathcal{K}(X_{69}, X_{76}, X_6)$.

• Más en general, si U se mueve en una cónica circunscrita, pyz + qzx + rxy = 0, de perspector Q(p:q:r), D(U) está en la cúbica pseudo-pivotal:

$$ps\mathcal{K}\left(\left(\frac{p^2}{q+r-p}:\frac{q^2}{r+p-q}:\frac{r^2}{p+q-r}\right),\left(\frac{1}{q+r-p}:\frac{1}{r+p-q}:\frac{1}{p+q-r}\right),X_2\right),$$

de ecuación:

$$\mathfrak{S}_{ciclica} \left((q+r-p)x^2(r^2y - q^2z) \right) - 2(p-q)(q-r)(r-p)xyz = 0.$$

Su punto nodal es:

$$\left(\frac{p}{q+r-p}:\frac{q}{r+p-q}:\frac{r}{p+q-r}\right).$$

• Cuando U recorre una recta que pasa por el vértice A, el punto Danneels D(U) recorre una cónica, C_a , que pasa por A y G y es tangente al lado BC, en el punto que dicha recta lo corta.

Si U se hace variar sobre las cevianas de un punto Q(p:q:r), D(U) describe tres cónicas, del tipo de las citadas, C_a , C_b y C_c , que además concurren en el punto D(Q). Con estos datos tales cónicas están determinadas y sus ecuaciones también pueden obtenerse como el lugar geométrico descrito (para el caso de C_a) por el punto Danneels de U(p+t:q:r):

$$D(U) \equiv ((q+r)(p+t)^2 : q^2(p+q+t) : r^2(p+r+t))$$

Y resulta, eliminando t,

$$C_a: r^2(q+r)y^2 + q^2(q+r)z^2 - 2qr(q+r)yz - q^2(q-r)zx + r^2(q-r)xy = 0.$$

Similarmente,

$$C_b: r^2(r+p)x^2 + p^2(r+p)z^2 + p^2(r-p)yz - 2rp(r+p)zx - r^2(r-p)xy = 0,$$

$$C_c: q^2(p+q)x^2 + p^2(p+q)y^2 - p^2(p-q)yz + q^2(p-q)zx - 2pq(p+q)xy = 0.$$

Estas tres cónicas tienen tangentes en los vértices de \widehat{ABC} , respectivamente,

$$-r^2y + q^2z = 0,$$
 $r^2x - p^2z = 0,$ $-q^2x + p^2y = 0.$

El triángulo tangencial $\widehat{O_aO_bO_c}$ de $\widehat{D_aD_bD_c}$ es perspectivo con \widehat{ABC} , con centro de perspectividad en el circuncentro. Las coordenadas de los vértices de $\widehat{O_aO_bO_c}$ son:

$$O_a(b^2c^2-a^2S_A:b^2S_B:c^2S_C),\quad O_b(a^2S_A:c^2a^2-b^2S_B:c^2S_C),\quad O_c(a^2S_A:b^2S_B:a^2b^2-c^2S_C).$$

Si $M'_{a}M'_{b}M'_{c}$ es el triángulo circunsceviano del baricentro:

$$M_a'(-a_\perp^2:b^2+c^2:b^2+c^2), \qquad M_b'(c^2+a^2:-b^2:c^2+a^2), \qquad M_c'(a^2+b^2:a^2+b^2:-c^2),$$

el triángulo tangencial de $\widehat{M'_aD_bD_c}$ es perspectivo con \widehat{ABC} con centro de perspectividad en $O'_a(-2a^2S_BS_C/(a^2+b^2+c^2):b^2S_B:c^2S_C)$. Resultado similar se obtiene para los triángulos $\widehat{M'_bD_cD_a}$ y $\widehat{M'_cD_aD_b}$.

Los triángulos $\widehat{D_aD_bD_c}$ y $\widehat{M'_aM'_bM'_c}$ son perspectivos, con centro de perspectividad en X_{22} (centro de perspectividad de \widehat{ABC} y el triángulo tangencial del triángulo circunsceviano del baricentro, $\widehat{M'_aM'_bM'_c}$).

PROPUESTAS: ¿Cómo puede construirse el triángulo $\widehat{D_aD_bD_c}$? ¿Existen otros triángulos inscritos en la circunferencia circunscrita cuyo triángulo tangencial sea perspectivo con el triángulo de referencia y con centro de perspectividad en el circuncentro?

 $[\]overline{(^2)} \text{ Los pies de las alturas } H_a, H_b, H_c, \text{ son puntos de Danneels de } D_a(a^2:c^2-b^2:b^2-c^2), D_b(c^2-a^2:b^2:a^2-c^2), D_c(b^2-a^2:a^2-b^2:c^2), P_c(b^2-a^2:a^2-b^2:c^2), P_c(b^2-a^2:a^2-b^2$

Tangentes que determinan un triángulo perspectivo con \widehat{ABC} , con centro de perspectividad:

$$\left(\frac{1}{p^2}:\frac{1}{q^2}:\frac{1}{r^2}\right).$$

Las tres cónicas C_a , C_b y C_c se cortan dos a dos en otros dos puntos (a parte de G y D(Q)) que determinan tres rectas concurrentes. Para determinar las ecuaciones de estas rectas, tengamos en cuenta que una de las cónicas degeneradas del haz de cónicas, determinado por las cónicas C_b y C_c , está formado por la recta GD(Q), y la recta:

$$\ell_a: \ (-p^3(q+r)-p^2(q^2-qr+r^2)+2pqr(q+r)-q^2r^2)x+p^2(p+q)(p-r)y+p^2(p-q)(p+r)z=0.$$

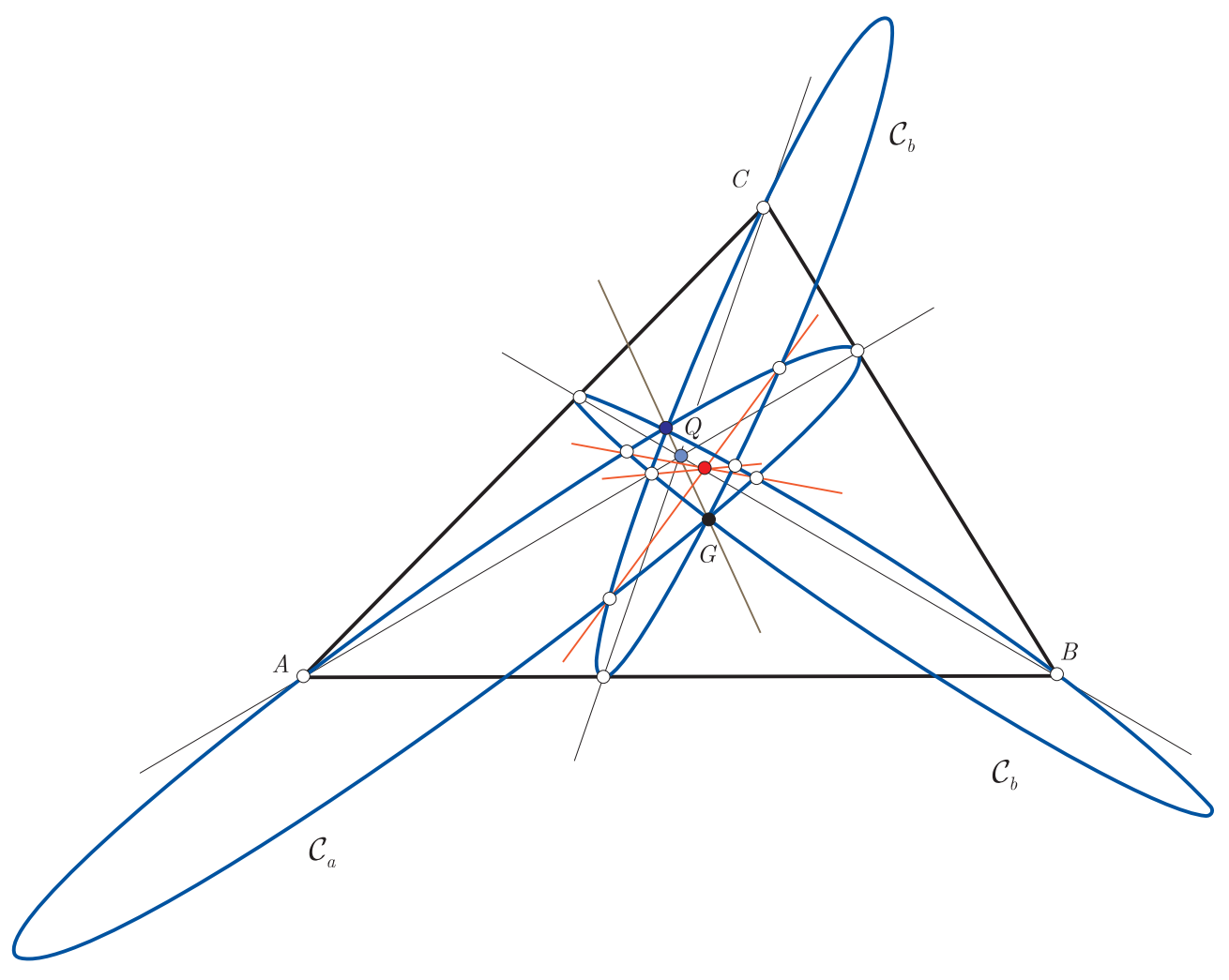
Procediendo cíclicamente, en las cónicas degeneradas que contienen a la recta GD(Q) para los otros dos haces de cónicas determinados por C_c y C_a , C_a y C_b , las otras rectas son:

$$\ell_b: q^2(q-r)(q+p)x + (-q^3(r+p) - q^2(r^2 - rp + p^2) + 2qrp(r+p) - r^2p^2)y + q^2(q+r)(q-p)z = 0,$$

$$\ell_b: r^2(r+p)(r-q)x + r^2(r-p)(r+q)y + (-r^3(p+q) - r^2(p^2 - pq + q^2) + 2rpq(p+q) - p^2q^2)z = 0.$$

Estas tres rectas se cortan en el punto cuya primera coordenada (las otras se obtienen por permutación cíclica) es:

$$(p^2(p^2(q-r)^2 - qr(q+r)^2 + p(q+r)(q^2 - 4qr + r^2)) : \cdots : \cdots).$$



A los puntos del infinito de las cevianas por Q(p:q:r) le corresponden puntos Danneels siguientes, que son los de tangencia de la cúbica (1) con las cónicas C_a , C_b y C_c , respectivamente:

$$\left(-(q+r)^3:q^3:r^3\right), \qquad \left(p^3:-(r+p)^2:r^3\right), \qquad \left(p^3:q^3;-(p+q)^2\right).$$

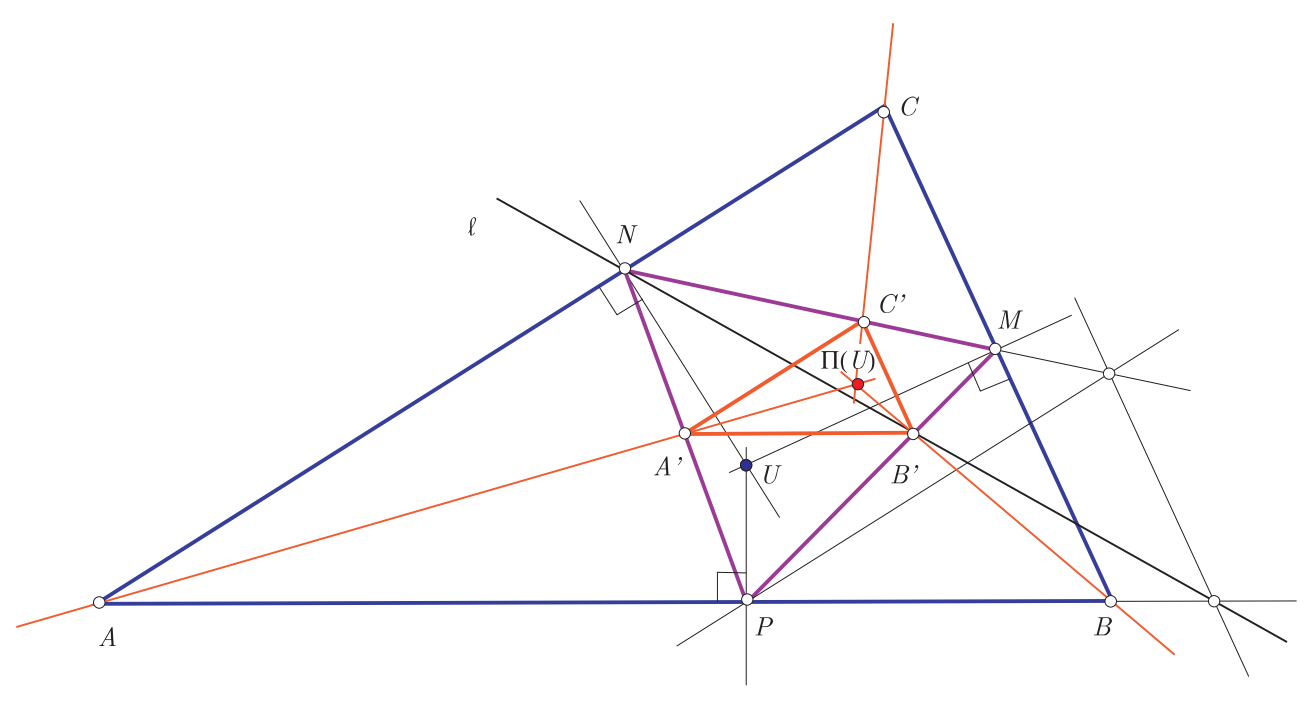
Por lo que determinan un triángulo perspectivo con \widehat{ABC} , de centro de perspectividad en $(p^3:q^3:r^3)$.

 \bigstar Caso en que \widehat{PMN} es el triángulo pedal de un punto U(u:v:w):

$$M(0: a^2v + S_Cu: a^2w + S_Bu), \qquad N(b^2u + S_Cv: 0: b^2w + S_Av), \qquad P(c^2u + S_Bw: c^2v + S_Aw: 0).$$

El centro de homotecia es:

$$\Pi(U) = \left((a^2(b^2u + S_Cv)(c^2u + S_Bw) : b^2(a^2v + S_Cu)(c^2v + S_Aw) : c^2(a^2w + S_Bu)(b^2w + S_Av) \right).$$



Algunos pares $U - \Pi(U)$ y su primera coordenada baricéntrica son:

U		$\Pi(U)$		
X_1	a	X_{57}	$\frac{a}{b+c-a}$	
X_2	1	X_{3066} $a^2(b)$	$^2 + S_C)(c^2 + S_B)$	
X_3	a^2S_A	X_2	1	
X_4	S_BS_C	X_3	a^2S_A	
X_5	$S^2 + S_B S_C$	$a^2(b^2$	$+2S_C)(c^2+2S_B)$	
X_6	a^2	X_{1285} 9.	$a^4 - (b^2 - c^2)^2$	
X_7	$\frac{1}{b+c-a}$	$\frac{a^2(c(a+b))}{a}$	$\frac{(b) - S_B)(b(a+c) - S_C)}{(b+c-a)^2}$	
X_8	b+c-a	$a^2(b(c-a))$	$(a) + S_C)(c(b-a)S_B +)$	
X_{10}	b+c	$a^2(b(b+c-a)$	$) + 2S_C)(c(b+c-a)2S_B +)$	

• Cuando U recorre una recta que pasa por un vértice, el punto $\Pi(U)$ recorre una cónica, que pasa por por dicho vértice. Si U se hace variar sobre las cevianas de un punto Q(p:q:r), D(U) describe tres cónicas, del tipo de la citada y las tangentes en los vértices de \widehat{ABC} son:

$$c^{2}((a^{2}-c^{2})q-b^{2}(q+2r))S_{B}y-b^{2}((a^{2}-b^{2})r-c^{2}(2q+r))S_{C}z=0,$$

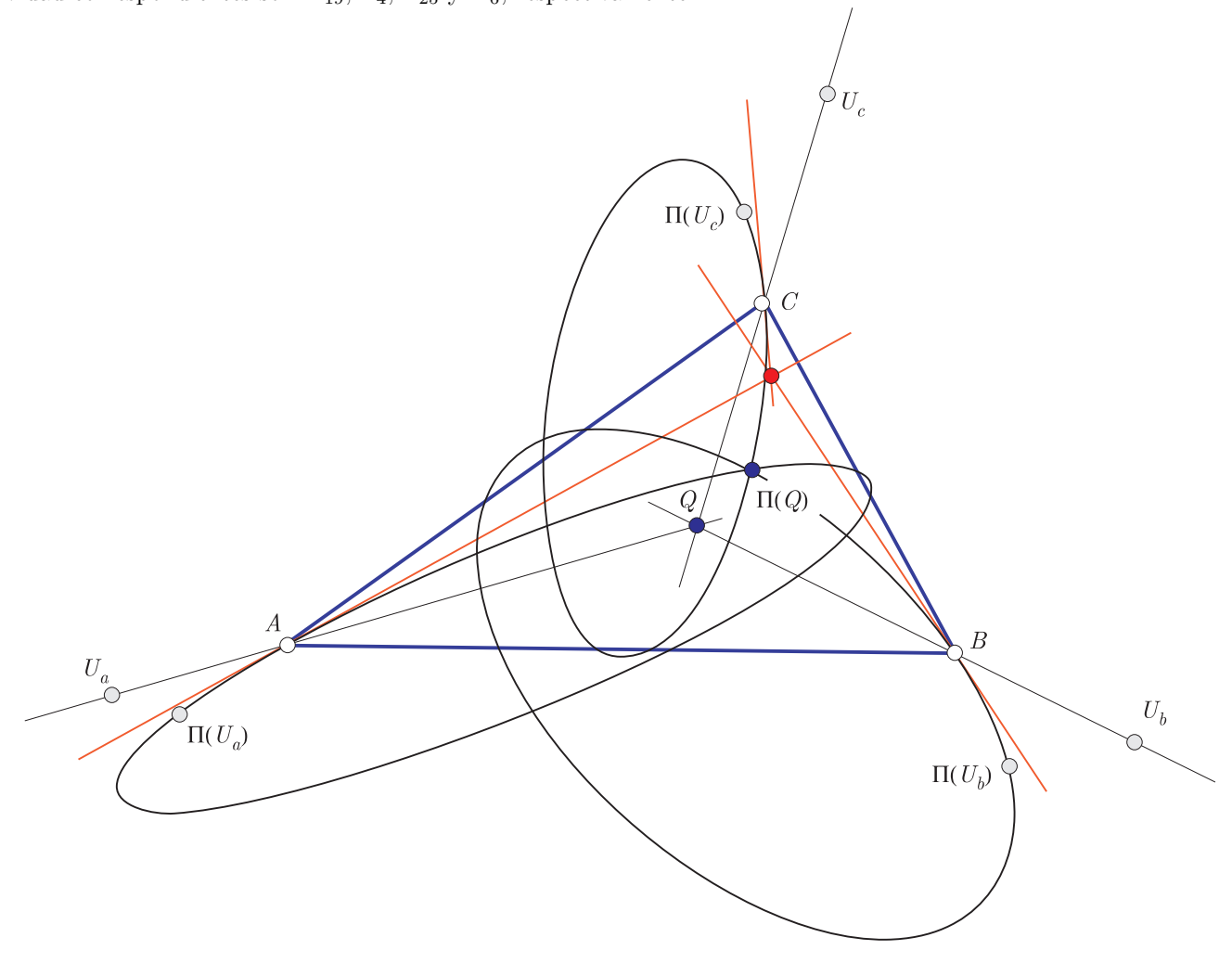
$$-c^{2}((b^{2}-c^{2})p-a^{2}(2r+p))S_{A}x+a^{2}((b^{2}-a^{2})r-c^{2}(r+2p))S_{C}z=0,$$

$$b^{2}((c^{2}-b^{2})p-a^{2}(p+2q))S_{A}x-a^{2}((c^{2}-a^{2})q-b^{2}(2p+q))S_{B}y=0.$$

El triángulo determinado por estas rectas es perspectivo con \widehat{ABC} si sólo si Q(p:q:r) está la cúbica de Darboux (**K004** en CTC), siendo la primera coordenada del centro de perspectividad (las otras dos se obtienen permutando cíclicamente):

$$a^2S_BS_C((a^2-b^2)r+c^2(2p+r))((a^2-c^2)q-b^2(q+2r))$$
.

En particular, cuando Q coincide con los puntos X_1, X_3, X_4 y X_{20} de la cúbica de Darboux, los centro de perspectividad correspondientes son X_{19}, X_4, X_{25} y X_6 , respectivamente.



 $\label{lem:http://webpages.ull.es/users/amontes/pdf/trresolu.pdf} $$ $$ $$ http://webpages.ull.es/users/amontes/pdf/ejct2409.pdf $$$